

GOLD SILVER AND BASE METALS IN THE MANGANESE MINERAL ASSEMBLAGES OF THE NE CHALKIDIKI ORE DEPOSITS

V. Galanopoulos ¹ and A. Theodoroudis²

ABSTRACT

The NE Chalkidiki manganese mineralisations form distal occurrences, relative to the Madem Lakkos and Olympias base metal sulfide deposits, developing along the Stratoni - Varvara thrust fault. The zonal gradation from "primary" manganese carbonate mineral assemblages, to oxidized mineralisation, and the high base metal and SiO₂ contents are major mineralogical and geochemical features.

Gold in the various metallic deposits and occurrences of the area shows values ranging from 0,84 to 3,57 ppm, while silver has a maximum content of 72 ppm in the Zepkos - Stratoni zone. There is a close genetic relationship between manganese and sulfide mineralisations in the area.

Unlike Cu, lead and Zinc values are increased in almost all the manganese occurrences and deposits, suggesting the close genetic relationship among manganese and sulfide parageneses in the area.

ΣΥΝΟΨΗ

Στην Β.Α. Χαλκιδική οι μαγγανιούχες μεταλλοφορίες αναπτύσσονται κυρίως στα περιθώρια των κοιτασμάτων θειούχων βασικών μετάλλων Μαντέμ Λάκκου και Ολυμπιάδας και στην τεκτονική ασυνέχεια Στρατωνίου - Βαρβάρας. Χαρακτηρίζονται από την ζωνώδη ανάπτυξη της "πρωτογενούς" ανθρακικής και οξειδωμένης μεταλλοφορίας και από υψηλές τιμές βασικών μετάλλων και SiO₂.

Ο χρυσός στα διάφορα κοιτασμάτα και μεταλλοφορίες της περιοχής συμμετέχει με μέσες τιμές που κυμαίνονται μεταξύ του 0,84 και 3,57 ppm ενώ ο άργυρος παρουσιάζει την υψηλότερη περιεκτικότητα 72 ppm στη ζώνη Ζέπκο - Στρατονίκη.

Οι τιμές του Pb και Zn σε αντίθεση με αυτές του Cu παρουσιάζονται αυξημένες στο σύνολο σχεδόν των μαγγανιούχων εμφανίσεων και κοιτασμάτων, γεγονός που φανερώνει την στενή γενετική σχέση μεταξύ της μαγγανιούχου και θειούχου παραγένεσης της περιοχής.

I. ΕΙΣΑΓΩΓΗ

Στην ΒΑ Χαλκιδική οι σημαντικότερες μαγγανιούχες μεταλλοφορίες αναπτύσσονται κυρίως στα περιθώρια των κοιτασμάτων θειούχων βασικών μετάλλων Μαντέμ Λάκκου και Ολυμπιάδας, καθώς και στην περιοχή μεταξύ Στρατωνίου-Βαρβάρας και Ολυμπιάδος. Το μέγιστο της μαγγανιούχου μεταλλοφορίας αναπτύσσεται στην τεκτονική ασυνέχεια Στρατωνίου Βαρβάρας. Χαρακτηρίζονται από την "πρωτογενή" ανθρακική ή και πυριτική παραγένεση σε άμεση σύνδεση με τα κοιτασμάτα θειούχων βασικών μετάλλων και την οξειδωμένη μεταλλοφορία στα ανώτερα τιμήματα και στα περιθώρια των κοιτασμάτων Μαντέμ Λάκκου και Ολυμπιάδας.

¹ IGME Messogion Str. 70, 11527, ATHENS, GREECE

² IGME Fragon Str. 1, 54626 THESSALONIKI, GREECE

Στα κοιτάσματα Μαντέμ Λάκκου και Ολυμπιάδας τα πολύτιμα μέταλλα συμμετέχουν με περιεκτικότητες 1.5gr/tn Au, 110 gr/tn Ag και 5.5 gr/tn Au, 120 gr/tn Ag αντίστοιχα.

Στις μαγγανιούχες μεταλλοφορίες ενδιαφέρουσες περιεκτικότητες Au-Ag έχουν ανιχνευτεί σε όλες τις παραγενέσεις αλλά και στους ξενιστές π.χ. υδροθερμικώς μετασωματωμένων μαρμάρων στις δολομιτικές και ασβεστιτικές εξαλλοιώσεις, στον υδροθερμικό χαλαζία κλπ. Υψηλές τιμές του Pb και Zn παρατηρούνται σε όλα τα μαγγανιούμεταλλεύματα της περιοχής, τιμές που είναι ιδιαίτερα υψηλές στα περιθώρια των θειούχων κοιτασμάτων. Αντίθετα ο Fe είναι αρκετά υψηλός μόνο στην περιοχή του Μαντέμ Λάκκου και ο Cu παρουσιάζει αυξημένη τιμή μόνο στην περιοχή του Μπασδέκ Λάκκου.

Σκοπός της παρούσας εργασίας είναι η παράθεση των αποτελεσμάτων των ερευνητικών εργασιών που διεξήγαγε το ΙΓΜΕ, κύρια στην περιοχή της Βαρβάρας, αλλά και στις υπόλοιπες περιοχές, η ανάδειξη της συμμετοχής των πολύτιμων μετάλλων στις μαγγανιούχες μεταλλοφορίες καθώς και της στενής γενετικής σχέσης των θειούχων και μαγγανιούχων κοιτασμάτων της περιοχής.

II. ΓΕΩΛΟΓΙΚΑ - ΚΟΙΤΑΣΜΑΤΟΛΟΓΙΚΑ ΣΤΟΙΧΕΙΑ ΤΗΣ Β.Α. ΧΑΛΚΙΔΙΚΗΣ

Η ΒΑ Χαλκιδική ανήκει στην ονομαζόμενη "Σερβομακεδονική μάζα",³ παλαιοζωϊκής ή και παλαιότερης ηλικίας και δομείται από τους λιθολογικούς σχηματισμούς της ενότητας των Κερδυλίων και Βερτίσκου (σχ. 1). Η ρηξιγενής ζώνη Στρατωνίου-Βαρβάρας ΔΒΔ-ΑΝΑ διεύθυνσης φέρει σε τεκτονική επαφή τους λιθολογικούς σχηματισμούς των παραπόνω ενοτήτων. Kockel et al (1977), Μουντράκης (1985).

Ο σχηματισμός των Κερδυλίων καταλαμβάνει το ΒΑ τμήμα της Χαλκιδικής αποτελείται από βιοτιτικό γνεύσιο, ενστρώσεις αμφιβολιτικού γνεύσιου, μαρμαρυγιακούς σχιστόλιθους, τρεις ορίζοντες μαρμάρου, αμφιβολίτες, πλαγιοκλαστικούς γνεύσιους. Μέσα στον σχηματισμό εντοπίζονται ανατηξίτες (Σταυρού-Σταγείρων) γρανίτες (Στεφανινών) καθώς και νεώτερες διεισδύσεις (γρανοδιορίτης Στρατωνίου, λαπροφύρες). Kockel et al (1977).

Ο σχηματισμός του Βερτίσκου καταλαμβάνει το ΝΝΔ τμήμα της περιοχής έρευνας

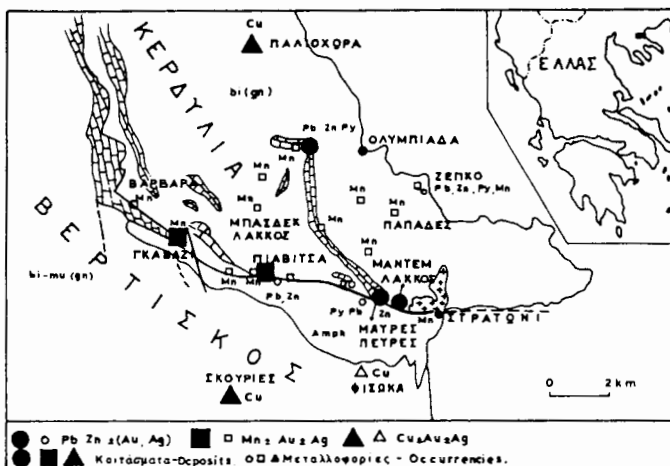


Fig. 1: Simplified geological map of NE Chalkidiki.

Σχ. 1: Απλοποιημένος γεωλογικός χάρτης της Β.Α. Χαλκιδικής

³ Οι συγγραφείς υιοθέτησαν τον περισσότερο δόκιμο όρο "Μακεδονική Κρυσταλλική Μάζα" που περιλαμβάνει τα προ-ή και παλαιοζωϊκά κρυσταλλικά πετρώματα των περιοχών Βερτίσκου, Κερδυλίων της Κεντρικής Μακεδονίας. Ψηφιακή Βιβλιοθήκη "Θεόφραστος" - Τμήμα Γεωλογίας. Α.Π.Θ.

υπέρκειται στρωματογραφικά του σχηματισμού των Κερδυλίων και αποτελείται από διμαρμαρυγιακό γνεύσιο, εντρώσεις από γρανατούχο-διμαρμαρυγιακό γνεύσιο, τουρμαλινικό- διμαρμαρυγιακό γνεύσιο, σιλιμανιτικό γνεύσιο, χαλαζιοστριούχο μαρμαρυγιακό γνεύσιο, καθώς και ενστρώσεις αμφιβολιτών.

Η μεταμόρφωση είναι αμφιβολιτικής φάσης, στο σχηματισμό των Κερδυλίων φθάνει μέχρι την ανάτηξη, παρατηρείται δε ανάδρομη μεταμόρφωση πρασινοσχιστολιθικής φάσης. Kockel et al (1977).

Στον σχηματισμό των Κερδυλίων απαντούν τα σημαντικά κοιτάσματα θειούχων βασικών μεταλλών Ολυμπιάδας και Μ. Λάκκου στα οποία τα πολύτιμα μέταλλα συμμετέχουν με αξιόλογες περιεκτικότητες, Nikolau (1960), Kalogeropoulos et al (1989), το χαλκούχο κοίτασμα της Παλιόχωρας, Διακάκης Ε. (1975), ενώ στον σχηματισμό του Βερτίσκου απαντά το πορφυρικό τύπου χαλκούχο + Au κοίτασμα των Σκουριών.

Τα θειούχα κοιτάσματα των Κερδυλίων θεωρούνται ηφαιστειοϊζηματογενούς προέλευσης, Nebel et al (1991), ως επιγενετικά συνδεόμενα με την τριτογενούς ηλικίας υδροθερμική δραστηριότητα, Kalogeropoulos et al (1989), ενώ οι Αρβανιτίδης κ.α (1992), Hellingwerf et al. (1993) προτείνουν την γενετική τους σύνδεση με τα πορφυρικά συστήματα (πιθανώς με τον διοριτικό πορφύρη της Φυσώκας).

III. ΜΑΓΓΑΝΙΟΥΧΟΣ ΜΕΤΑΛΛΟΦΟΡΙΑ

ΚΟΙΤΑΣΜΑΤΟΛΟΓΙΚΑ - ΓΕΩΧΗΜΙΚΑ ΣΤΟΙΧΕΙΑ

Στη μεγάλη τεκτονική ασυνέχεια Στρατωνίου-Βαρβάρας, αναπτύσσεται η κύρια μαγγανιούχος μεταλλοφορία. Το μεταλλοφόρο ρήγμα έχει γενική διεύθυνση ΑΝΑ-ΔΒΔ με κλίσεις που κυμαίνονται από 45-50° στα ανατολικά (Μαντέμ Λάκκος) και 30-35° στα δυτικά (Βαρβάρα) σχ. 1,2.

Η εξέλιξη των κοιτασματολογικών τύπων κατά μήκος του ρήγματος χαρακτηρίζεται από την θειούχα φάση των βασικών μεταλλών στην περιοχή Μαντέμ Λάκκος, τη σταδιακή μεταβάση προς την ανθρακική ή και πυριτική "πρωτογενή" μαγγανιούχο μεταλλοφορία στην περιοχή Πιάβιτσα και την οξειδωμένη στην δυτική απόληξη της μεταλλοφορίας στο Δ.Μ. Βαρβάρας (σχ. 2). Galanopoulos et al. (1986).

Στην δυτική απόληξη του ρήγματος, περιοχή του Δ.Μ. Βαρβάρας στη θέση Γκαβάζι (σχ. 1,2), το ΙΓΜΕ εφάρμοσε συστηματική κοιτασματολογική-μεταλλευτική έρευνα και εντόπισε κοίτασμα μαγγανιομεταλλεύματος πυρολουσιτικού τύπου "Battery grade", συνολικού αποθεματικού δυναμικού 1.5×10^6 t/m³ με μέση περιεκτικότητα 29.35% MnO₂ Θεοδωρούδης - Γαλανόπουλος (1991).

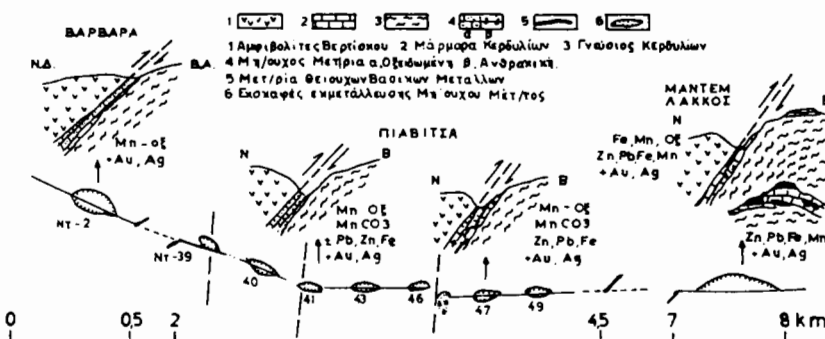


Fig. 2: The development of oredeposit types along the STRATONI - VARVARA fault.

Σχ. 2: Η εξέλιξη των κοιτασματολογικών τύπων κατά μήκος του ρήγματος ΣΤΡΑΤΟΝΙΟΥ - ΒΑΡΒΑΡΑΣ

Ψηφιακή Βιβλιοθήκη "Θεόφραστος" - Τμήμα Γεωλογίας. Α.Π.Θ.

Στην περιοχή Πιάβιτσα (σχ. 1,2) σε μήκος 2.5 χλμ. απαντούνται υπαίθριες εκσκαφές από την εκμετάλλευση των Mn/ούχων μεταλλευμάτων η οποία έχει σταματήσει την τελευταία δεκαετία. Τα πιθανά αποθέματα στην περιοχή αυτή εκτιμώνται σε 10.5×10^6 tн με 34% Mn Rena A. (1977). Στα επιφανειακά τμήματα (20-30 m) η μεταλλοφορία είναι οξειδωμένη, ενώ στα βαθύτερα σημεία μεταβαίνει σε "πρωτογενή" ροδοχρωσίτη, ροδονίτη και διάσπαρτη μεταλλοφορία σιδηροπυρίτη, σφαλερίτη και γαληνίτη. Δήμους κ.ά. (1986), Θεοδωρούδης - Γαλανόπουλος (1993).

Η ζωνώδης ανάπτυξη χαρακτηρίζει την μαγγανιούχο μεταλλοφορία της Ολυμπιάδας με κύρια την παραγένεση της θειούχου φάσης των βασικών μετάλλων στο κοίτασμα και την σταδιακή μετάβαση προς την μαγγανιούχο ανθρακική και μαγγανιούχο οξειδωμένη στα ΒΔ περιθώρια του κοιτάσματος. Η οξειδωμένη μαγγανιούχος μεταλλοφορία είναι πυρολουσιτικού τύπου σπογγώδης έως συμπαγής αναπτύσσεται στην επαφή του βιοτιτικού γνεύσιου με τα μάρμαρα (Mr-1) των Κερδυλίων. Κατά το παρελθόν έτυχε μικρής επιφανειακής εκμετάλλευσης. Θεοδωρούδης - Γαλανόπουλος (1993).

Στην περιοχή Μπασδέκ Λάκκος (σχ. 1) η μεταλλοφόρος ζώνη ελέγχεται από τεκτονική ασυνέχεια με γενική διεύθυνση B-N και αναπτύσσεται σε ορατό μήκος περίπου 150m. Κατά το παρελθόν έτυχε κάποιας εκμετάλλευσης με ανοιχτές εκσκαφές αλλά και υπόγεια μεταλλευτικά έργα. Η μεταλλοφορία συνίσταται σε μαγγανιούχα οξειδία, με εμφανή παρουσία Fe-οξειδίων, έντονη παρουσία πηγματιτικού εξαλλοιωμένου ως επί το πλείστον υλικού, είναι σπογγώδης έως συμπαγής με έντονη παρουσία ανοιχτών διακένων και ζωνώδη κατανομή κρυσταλικού SiO_2 .

Η "επιθερμική" μεταλλοφόρος ζώνη Ζέπκου-Παπάδων-Στρατονίκης (Σχ.1) χαρακτηρίζεται από "πρωτογενή" μαγγανιούχο και θειούχο μεταλλοφορία (με αρχικό στάδιο οξειδωσης) αλλά και οξειδωμένη μαγγανιούχο μεταλλοφορία με έντονη πυριτίωση. Πιθανώς να αποτελεί το ανώτερο στρωματογραφικά τμήμα "πρωτογενούς" μαγγανιούχου ή και θειούχου μεταλλοφορίας στο βάθος. Arvanitidis et al (1992), Hellingwerf et al (1993).

Από τα συγκεντρωτικά γεωχημικά δεδομένα του Πιν. 1 που αναφέρονται στις περιοχές έρευνας, παρατηρούμε τα εξής:

1. Τη μέγιστη συμμετοχή του Mn στην περιοχή Πιάβιτσα κατά μήκος του ρήγματος Στρατωνίου Βαρβάρας και τις αυξημένες τιμές του Mn στις περιοχές Μπασδέκ Λάκκος και Ολυμπιάδα.

2. Την "απουσία" του Fe από τις μαγγανιούχες μεταλλοφορίες, με εξαίρεση την περιοχή Μαντέμ Λάκκου Fe - 17.2%, Mn/Mn+Fe - 0.33.

3. Την αυξημένη τιμή του SiO_2 στο σύνολο σχεδόν των μεταλλοφοριών και κύρια στην περιοχή Βαρβάρας και Ζέπκου, αλλά παράλληλα και την αρνητική σχέση του SiO_2 προς το Mn+Fe (σχ.3).

4. Την σχεδόν παντελή απουσία CaO από τις οξειδωμένες μαγγανιούχες μεταλλοφορίες και την χαμηλή του συμμετοχή στις περιοχές Πιάβιτσα Ζέπκου και Βαρβάρας.

5. Οι τιμές του MgO και Al_2O_3 είναι πολύ χαμηλές και μπορεί να θεωρηθεί ότι τα Μαγγανιούχα μεταλλεύματα της Χαλκιδικής είναι ελεύθερα μαγνησίου και αργιλίου.

6. Ο Pb και Zn παρουσιάζουν αυξημένες τιμές σε αντίθεση με τον Cu ο οποίος έχει σχετικά υψηλή συμμετοχή (504 ppm) μόνο στην περιοχή του Μαντέμ Λάκκου. Οι τιμές του Pb και Zn φθάνουν τις μέγιστες μέσες τιμές 1.160 ppm του Pb στην περιοχή της Βαρβάρας και 17.300 ppm του Zn στην περιοχή του Μ. Λάκκου. Στη ζώνη Ζέπκου - Παπαδών - Στρατονίκης οι τιμές του Pb, Zn είναι αυξημένες. Ο Pb κυμαίνεται από 0 έως 3.20%, ο Zn από 0.04 έως 8.10% με μέσες τιμές 0.57% και 0.68% αντίστοιχα. Η συμπεριφορά αυτή των βασικών μετάλλων είναι αναμενόμενη και συνηγορεί υπέρ της στενής γενετικής σχέσης ανάμεσα στα διαλύματα που είναι πλούσια σε σύμπλοκα των βασικών μετάλλων και των μαγγανιούχων διαλυμάτων στην

περιοχή του ρήγματος Στρατώνι -Βαρβάρας στην περιοχή Ολυμπιάδας, αλλά και στο σύνολο των μαγγανιούχων εμφανίσεων στην περιοχή της ΒΑ Χαλκιδικής.

1. Χημικές αναλύσεις έγιναν στα διάφορα στάδια της έρευνας και με διαφορετικές μεθόδους : α) στα Χημεία του ΙΓΜΕ Ξάνθης και Αθηνών (μέθοδος AAS) β) στο Εργαστήριο Caleb Brett M. Bretanía (μέθοδος FIRE ASSAYING)

IV. ΣΥΜΜΕΤΟΧΗ ΤΟΥ ΧΡΥΣΟΥ ΚΑΙ ΑΡΓΥΡΟΥ ΣΤΙΣ Mn/ΟΥΧΕΣ ΜΕΤΑΛΛΟΦΟΡΙΕΣ

Στη γνωστή χωρική και γενετική σχέση της Mn/ούχου μεταλλοφορίας προς τα χρυσοφόρα κοιτάσματα των θειούχων συμπυκνωμάτων των βασικών μετάλλων και πυριτών του Μαντέμ Λάκκου και Ολυμπιάδας, και στον ουσιαστικό έλεγχο των Mn/ούχων εμφανίσεων από το ρήγμα Στρατώνιου - Βαρβάρας, στηρίχτηκε η διερεύνηση και αξιολόγηση του περιεχόμενου χρυσού και αργύρου (Au, Ag) στις Mn/ούχες παραγενέσεις. Γαλανόπουλος - Θεοδωρούδης (1989). Ελέγχθηκε χημικά ικανός αριθ-

Tab. 1: Bulk geochemical data from the areas of Varvara - Piavitsa - Madem Lakkos - Basdek Lakkos - Olybiada - Zepkos.

Πίν. 1: Συγκεντρωτικά γεωχημικά μεγέθη των περιοχών: Βαρβάρας-Πιάβιτσας-Μαντέμ Λάκκου-Μπασδέκ Λάκκου - Ολυμπιάδας-Ζέπκου.

	Βαρβάρα	Πιάβιτσα	Μαντέμ Λάκκος	Μπασδέκ Λάκκος	Ολυμπιάδα	Ζέπκο Παπάδες
n	451	23	9	2	3	21
Mn%	16,40	24,03	9,88	26,8	35,75	6,86
Fe%	0,81	1,96	17,2	1,48	1,17	2,24
Mn+Fe%	17,21	25,99	27,08	28,28	36,92	9,08
Mn/Mn+Fe	0,95	0,91	0,33	0,95	0,97	0,76
SiO ₂ %	52,00	40,91	34,39	43,25	28,52	59,46
CaO%	(n:333) 4,52	2,08	0,88	0,56	1,24	3,20
MgO%	(n:13) 0,23	0,39	0,12	0,15	0,07	1,67
Al2O ₃ %	(n:323) 1,51	1,28	1,26	1,18	0,25	4,48
Cu ppm	85	52	504	13	13	171
Pb ppm	1160	1122	987	160	134	5,700
Zn ppm	960	3487	17300	405	2296	6,800
Au ppm	(n:100) 1,41	(n:23) 1,55	(n:7) 1,16	(n:10) 0,84	(n:2) 2,2	3,57
Ag ppm	(n:100) 7,28	(n:23) 20,7	(n=9) 31	(n=2) 1,5		72,2

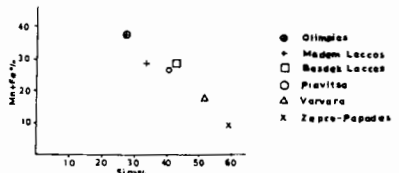


Fig. 3: SiO₂/Mn+Fe corellation in the manganese mineralizations of the N.E. Chalkidiki area.

Σχ. 3: Συσχετισμός SiO₂/Mn+Fe στις Mn/ούχες μεταλλοφορίες της Β.Α. Χαλκιδικής.

μός δειγμάτων κύρια από την περιοχή του ΔΜ Βαρβάρας αλλά και αντιπροσωπευτικός αριθμός των υπόλοιπων περιοχών.

1. Δημόσιο Μεταλλείο Βαρβάρας

Α. Δείγματα μέσου βάρους 5 Kgr από την επιφανειακή εκσκαφή Ντ-2 της ΟΠ-13 αναλύθηκαν στο εργαστήριο Caleb Brett. Τα δείγματα επιλέχθηκαν με κοιτασματολογικά κριτήρια (βαθμός οξείδωσης, πυριτίωσης, μετασωμάτωσης, περιεκτικότητα σε MnO₂, κλπ) ώστε να καλύπτουν όλες τις παραγενέσεις όπως αυτές είναι παρουσες στη περιοχή του ΔΜ Βαρβάρας. Τα αποτελέσματα δίνονται στον Πιν. 2.

Ο χρυσός κυμαίνεται από 10 έως 5690 ppb. Η μέση Ρεωλογίας Α.Π.Θ. είναι 1607 ppb.

Β. Στη συνέχεια ελέχθηκαν 100 δείγματα διάκριτων μέτρων 13 συνολικά γεωτρήσεων του κοιτάσματος της Βαρβάρας . Οι χημικές αναλύσεις Au, Ag έγιναν στο εργαστήριο Caleb Brett, και των υπολοίπων στοιχείων στο χημείο Ξάνθης του ΙΓΜΕ. Πίν. 3.

Παρατηρούμε ότι οι τιμές του Au κυμαίνονται από 0.11 έως 12.30 ppb με μέση τιμή 1.41 ppb, του Ag από 1.0 έως 62.0 ppb με μέση τιμή 7.28 ppb. Η μαγγανιούχος μεταλλοφορία στην οποία αναφέρονται τα 100 δείγματα αντιπροσωπεύει το κοίτασμα με μέση περιεκτικότητα 25.22% MnO₂, σχετικά υψηλή συμμετοχή του SiO₂-53.66%, χαμηλή συμμετοχή σε Fe₂O₃-1.41%, CaO-4.33%, Cu-15ppm ενώ υψηλή είναι η συμμετοχή του Pb και Zn 1.755 και 549 ppb αντίστοιχα.

Γ. Πλήρως ταυτοποιημένα δείγματα τρημάτων γεωτρήσεων απολύτως αντιπροσωπευτικά του κοιτάσματος αναλύθηκαν στο εργαστήριο Caleb Brett προς διασταύρωση των δεδομένων. Πίν. 4.

Η μέση τιμή 1.55 gr/tn Au (Πίν.4) ταυτίζεται με τις προαναφερθείσες ως μέσες τιμές του 1.61 και 1.41 ppb (πίν.2,3) και με βεβαιότητα μπορεί να θεωρηθεί ως

Tab.2: The content of gold in representative samples from the Varvara ore deposit.

Πίν. 2: Οι περιεκτικότητες του Au σε αντιπροσωπευτικά δείγματα του ΔΜ Βαρβάρας

Δείγμα	Au ppb	Δείγμα	Au ppb	Δείγμα	Au ppb
Q2-1	2.510	Q2-5	1.540	Q2- 9	5.690
Q2-2	1.010	Q2-6	510	Q2-10	1.125
Q2-3	150	Q2-7	<10	Q2-11	687
Q2-4	1.450	Q2-8	500	Q2-12	4.000

$$n=12 \bar{x}=1.607 \text{ ppb Au} \quad 1\sigma=1.697 \\ \text{εύρος (range)} <10 \text{ έως } 5.690 \text{ ppb}$$

η μέση τιμή του Au στο μαγγανιούχο κοίτασμα του ΔΜ Βαρβάρας.

2. Περιοχή Πιάβιτσα - Μαντέμ Λάκκου

Τα δείγματα που αναλύθηκαν προέρχονται από τις ανοιχτές εκσκαφές κατά μήκος του ρήγματος σχ. 1,2 και καλύπτουν όλες τις μεταλλογενετικές φάσεις που χαρακτηρίζουν την περιοχή (οξειδωμένη μεταλλοφορία, "πρωτογενής" ανθρακική με

Tab. 3: Bulk geochemical data of 100 samples from drillcores of the Varvara ore deposit.

Πίν. 3: Συγκεντρωτικά γεωχημικά μεγέθη 100 δειγμάτων γεωτρήσεων του ΔΜ Βαρβάρας

Samble No	Au ppm	Ag ppm	MnO2%	SiO2%	Fe2O3%	CaO%	Cu ppm	Pb ppm	Zn ppm
n	100	100	100	100	100	67	100	100	100
min	0,11	1,00	1,30	4,00	0,00	0,22	4	10	58
max	12,30	62,00	57,05	92,84	8,57	51,63	58	15000	8000
Mean	1,41	7,28	25,22	53,66	1,41	4,33	15	1755	549
S,D,	1,87	8,81	12,90	18,61	1,67	8,52	10	3952	945

συμμετοχή ή όχι της θειούχου μεταλλοφορίας των βασικών μετάλλων, πλευρικές εξαλλοιώσεις σε ανθρακικά ή και πυριτικά πετρώματα κ.α.).

Στον πίνακα 1 αναφέρονται τα συγκεντρωτικά γεωχημικά μεγέθη, ο πιν. 5 δείχνει τη συμμετοχή του Au αναλυτικά κατά εκσκαφή, και στο σχ.4 δίνεται η μεταβολή της κατανομής του Au στις μαγγανιούχες μεταλλοφορίες κατά μήκος

Tab. 4: The gold content of 10 common samples representative of the Varvara manganese ore deposit.

Πιν. 4: Περιεκτικότητα σε Au 10 ταυτοποιημένων δειγμάτων αντιπροσωπευτικών του μαγγανιού κοιτάσματος.

1,58	1,52	1,51	1,61	1,61
1,53	1,51	1,55	1,53	1,51

$$n=10 \quad x = 1,55 \text{ ppm} \quad 1\sigma = 0,040$$

της τεκτονικής ασυνέχειας Στρατωνίου-Βαρβάρας και κατά εκσκαφή.

Από την ανάλυση των στοιχείων αυτών προκύπτει ότι σε όλο το μήκος της ρηγιγενούς αυτής περιοχής τα πολύτιμα μεταλλα συμμετέχουν με αξιόλογες τιμές. Η πλούσια σε μαγγάνιο (24% Mn) περιοχή της Πιάβιτσας χαρακτηρίζεται από τις αυξημένες τιμές των βασικών μετάλλων 1.122 ppm Pb, 3.487 ppm Zn και παρουσιάζει μέση τιμή συμμετοχής του Au 1.55 ppm και του Ag 20.7 ppm Πιν. 5,6.

Οι μέγιστες μέσεις τιμές του Au 4.1 ppm (n=2) και 2.3 ppm (n=3), παρατηρούνται στη μαγγανιού "πρωτογενή", ανθρακική μεταλλοφορία με έντονη συμμετοχή



Fig. 4: Distribution of gold in the manganese mineralizations along the STRATONI - VARBARA fault.

Σχ. 4: Κατανομή του Au στις Mn/ούχες μεταλλοφορίες κατά μήκος του ρήγματος ΣΤΡΑΤΩΝΙ - ΒΑΡΒΑΡΑ.

γαληνίτη, σιδηροπυρίτη, σφαλερίτη.

3. Περιοχή Μπασδέκ Λάκκου, Ολυμπιάδας, Ζέπκου.

Από την μεταλλοφόρο περιοχή του Μπασδέκ Λάκκου αναλύθηκαν 10 δείγματα και από την περιοχή Ολυμπιάδας μόνο δύο. Πιν. 6. Στην οξειδωμένη μεταλλοφορία της περιοχής Μπασδέκ Λάκκου οι τιμές του Au κυμαίνονται από 0.26 έως 1.85 ppm, με μέση τιμή 1.16 ppm, ενώ του Ag είναι πολύ χαμηλές (σε δύο αναλυθέντα δείγματα 1.5 ppm). Η μέγιστη τιμή του Au 1.85 ppm δίνεται από πυριτιωμένη μεταλλοφορία οξειδίων Mn με παρουσία φαιού-σταχτόγκριζου άμορφου χαλαζιακού (Χαλκηδόνιος).

Τα δύο δείγματα της περιοχής Ολυμπιάδος αναφέρονται σε ελαφρώς πυριτιω-

Tab. 5: Gold concentration in trenches from Piavitsa and Madem Lakkos

Πιν. 5: Η συμμετοχή του Au στις εκσκαφές της Πιάβιτσας και στο Μαντέμ Λάκκος

ΕΚΣΚΑΦΗ	39	40	41	43	46	Μπάζα Στοάς	47	49	Μαντέμ Λάκκος
Αρ. δειγμ.	1	5	4	7	3	2	1	3	7
Au ppb	1.150	764	1.420	1.707	2.307	4.055	540	720	1.160

μένη μεταλλοφορία Mn/οξειδίων με συμμετοχή εξαλλοιωμένου - καολινιτιωμένου πηγματιτικού υλικού και έδωσαν τιμές 2.70 και 1.69 ppm Au με μέση τιμή 2.2 ppm Au.

Ψηφιακή Βιβλιοθήκη "Θεόφραστος" - Τμήμα Γεωλογίας, Α.Π.Θ.

Στη μεταλλοφόρο ζώνη Ζέπκου-Παπάδων-Στρεμπενίκου οι μέσες τιμές του Au και Ag σε 21 αναλυθέντα δείγματα είναι αρκετά υψηλές 3.57 και 72.2 ppm αντίστοιχα. Πρέπει να σημειωθεί ότι οι υψηλότερες τιμές πάνω 28.8 ppm Au παρατηρούνται στο BA τμήμα και αναφέρονται σε πολυμεταλλική θειούχο και "πρωτογενή" μαγγανιούχο μεταλλοφορία, που χαρακτηρίζεται από έντονη πυριτίωση. Η "επιθερμική" ζώνη Ζέπκου - Παπάδων - Στρατονίκης κρίνεται αρκετά ελπιδοφόρος και πρόκειται να εκτελεσθεί συστηματική κοιτασματολογική έρευνα από το ΙΤΜΕ, στοχεύοντας στον εντοπισμό πολυμεταλλικών συγκεντρώσεων στο βάθος π.χ. (Ολυμπιάδα - Μαντέμ Λάκκος).

Από τα συγκεντρωτικά αποτελέσματα του πίν. 6 γίνεται εμφανής η συμμετοχή του χρυσού στο σύνολο των Μαγγανιούχων μεταλλευμάτων της Β.Α. Χαλκιδικής σε ικανοποιητικές περιεκτικότητες, γεγονός που μπορεί να θεωρηθεί αξιόλογος οικονομικός δείκτης.

V. ΟΡΥΚΤΟΛΟΓΙΑ ΟΡΥΚΤΟΧΗΜΕΙΑ

Τρείς είναι οι ορυκτολογικοί τύποι της μαγγανιούχου μεταλλοφορίας στην περιοχή έρευνας. α) Μαγγανιούχος ανθρακική ± πυριτική ± θειούχος. β) Ροδοχρωσίτης - μαγγανιούχος ασβεστίτης - οξείδια. γ) Μαγγανιούχα οξείδια.

Ο πρώτος τύπος αποτελεί τα σύνδρομα ορυκτά των πολυμεταλλικών κοιτασμάτων Μ. Λάκκου - Ολυμπιάδας, απαντά δε στις περιοχές Πιάβιτσας και Ζέπκου. Αποτελείται από ροδοχρωσίτη, ροδονίτη, σφαλερίτη, γαληνίτη, σιδηροπυρίτη.

Ο δεύτερος τύπος εκφράζει την ενδιάμεση οξειδωτική κατάσταση των πλούσιων ζωνών σε μαγγάνιο και απαντά στο μέσον και στην δυτική απόληξη του ρήγματος Στρατωνίου - Βαρβάρας καθώς και στην περιοχή Ζέπκου. Αποτελείται από εύεδρα ροδοχρωσίτη ή μαγγανιούχου ασβεστίτη και εμφανίζει ζώνωση φωτ. 1,2. Ο χαλαζίας εμφανίζεται σε εύεδρα η υπο-κρυσταλλικά εγκλείσματα στην

Tab. 6: Bulk content of precious metals in the manganese ores and mineralisations in NE Chalkidiki

Πιν. 6: Συγκεντρωτικός πίνακας συμμετοχής των πολύτιμων μετάλλων στα μαγγανιούχα κοιτάσματα και μαγγανιούχες μεταλλοφορίες της ΒΑ Χαλκιδικής.

Βαρβάρα	Πιάβιτσα	Μαντέμ Λάκκος	Μπασδέκ Λάκκος	Ολυμπιάδα	Ζέπκο Παπάδες
n	100	26	7	10	2
Au ppm	1,41	1,55	1,16	0,84	2,2
Ag ppm	7,28	(n=23) 20,7	(9) 31	(2) 1,5	n.d

ροδοχρωσιτική μάζα ή συσσωματώματα ή πληρώσεις μικρών φλεβιδίων. Επί πλέον γαληνίτης εντοπίζεται μέσα στο ροδοχρωσίτη. Τα οξείδια του μαγγανίου συνυπάρχουν με χαλαζία και ασβεστίτη και πληρούν δευτερογενείς είτε μεταπαραμορφωτικές bands του μαρμάρου είτε στυλολίθους που τέμνουν το foliation του μαρμάρου φωτ. 2.

Ο τρίτος τύπος της οξειδωμένης μαγγανιούχου μεταλλοφορίας αναπτύσσεται στην δυτική προέκταση του ρήγματος Στρατωνίου - Βαρβάρας στα περιθώρια του κοιτάσματος της Ολυμπιάδας, στην περιοχή Μπασδέκ Λάκκος. Συνίσταται σε οξείδια και υπεροξείδια του Μαγγανίου (πυρολουσίτης, τοντοροκίτης, νουσιίτης, κρυπτομέλανας με σύνδρομα ορυκτά χαλαζία, ασβεστίτη και δολομίτη. (X.R.D. ανάλυση). Τα Mn/ούχα οξείδια απαντούν υπό μορφή εμποτισμού, ψευδοστρώσεων, στυλολίθων,

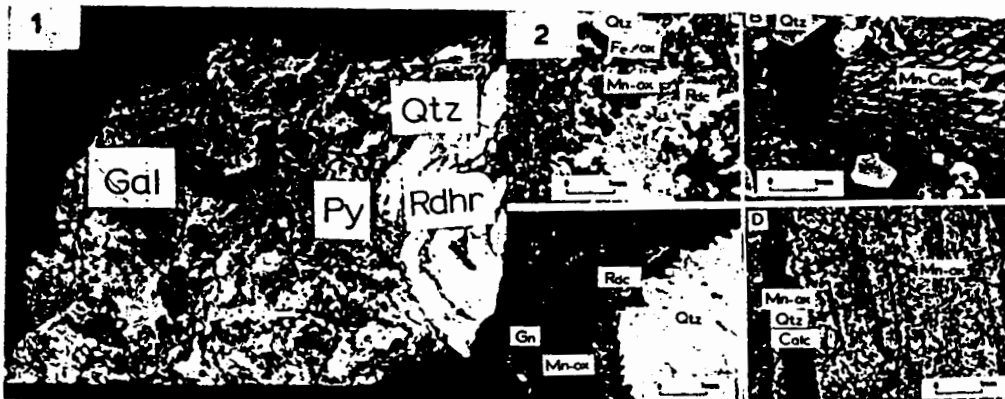


Photo 1: Macroscopic picture of manganese and sulfide mineralisation (Piabtsa deposit).

Photo 2: Microscopic picture of manganese ore showing a characteristic assemblage of rhodochrosite, manganese calcite, quartz and manganese hydroxides.

Φωτ. 1: Μακροσκοπική εικόνα (δείγμα χειρός) της Μαγγανιούχου ± θειούχου μεταλλοφορίας (Πιάβιτσα).

Φωτ. 2: Η μικροσκοπική εικόνα του μεταλλεύματος που αντιστοιχεί στο άθροισμα: ροδοχρωσίτης - Mn/ούχος ασβεστίτης - χαλαζίας - υπεροξείδια του Mn.

πλέγματος φλεβιδίων ή πληρώσεις ανοιχτών διακένων δίνοντας ως τελικό προϊόν ένα πλήρως μετασσωματωμένο μάρμαρο.

Στο πίν.7 δίδονται συγκεντρωτικά τα αποτελέσματα ημιποσοτικής (X.R.D.) ανάλυσης για τα κυριότερα ορυκτά της Μαγγανιούχου μεταλλοφορίας. Εμφανής είναι η αυξημένη περιεκτικότητα του SiO_2 στις δυτικές απολήξεις της μαγγανιούχου μεταλλοφορίας της περιοχής Βαρβάρας, κυρίως στα δείγματα επιφάνειας, η αυξημένη συμμετοχή του τοντοροκίτη στις περιοχές της Βαρβάρας και της Πιάβιτσας. Ο νσουτίτης συμμετέχει σε όλες τις περιοχές. Αυξημένη είναι η τιμή του, (46.8%) στην περιοχή του Μπασδέκ Λάκκου, ενώ είναι η μόνη σχεδόν φάση οξειδίων του Mn στην περιοχή της Ολυμπιάδας (73.43%). Αξιοσημείωτη είναι επίσης η παρουσία του ροδοχρωσίτη στην περιοχή της Πιάβιτσας και η αυξημένη συμμετοχή του κρυπτομέλανα στην περιοχή του Μαντέμ Λάκκου.

Μικροαναλύσεις μαγγανιούχων υπεροξειδίων της περιοχής Βαρβάρας στα ορυκτά τοντοροχίτης και πυρολουσίτης σε 31 και 11 μετρήσεις έδωσαν υψηλές τιμές του MnO_2 83,08 και 98,08% αντίστοιχα. Συμμετέχουν επίσης K_2O , CaO , FeO και Na_2O με σχετικά αυξημένες τιμές 1,52, 1,42, 072, 0,34% στον τοντοροχίτη και χαμηλές τιμές 0,13, 0,31, 0,24 και 0,03% στον πυρολουσίτη.

Ο τρόπος σύνδεσης των πολύτιμων μετάλλων προς τις διάφορες λιθοφάσεις, έχει μελετηθεί σε λίγα δείγματα σε συνεργασία με το Open University της Αγγλίας με τη μέθοδο της B-αυτοραδιογραφίας. P.J. Potts et al (1992). Πέντε (5) δείγματα χειρός με περιεκτικότητα 0.5-2.5 ppm Au υποβλήθηκαν σε εξέταση με την παραπάνω μέθοδο. Η μέθοδος έδωσε ικανοποιητικά αποτελέσματα που περιγράφονται παρακάτω.

1. Σε 2 δείγματα που εξετάσθηκαν (με διάσπαση σε 14 ημέρες και 3 μήνες αντιστοίχως), ο χρυσός εντοπίζεται σε ξεχωριστούς κόκκους (discrete gold grains) μικρομετρικής κλίμακας (1- 4μm) (φωτ. 3,4,5,6).

2. Για να ελεγχθούν δομές που εντοπίστηκαν από την β-αυτοραδιογραφία σε ένα (1) δείγμα έγινε επακόλουθη μικροσκοπική εξέταση (με οπικό μικροσκόπιο και ηλεκτρονικό μικροσκόπιο). Ο χρυσός (κόκκοι) εμφανίζεται συνδεδεμένοι με λεπτοκρυσταλλικό χαλαζία συνήθως μαύρο. Το δείγμα περιλαμβάνει μεγάλο αριθμό ανεξάρτητων κόκκων χρυσού (1- 4μm). Πρόκειται για καθαρό χρυσό (ποιοτική

Tab. 7: Semiquantitative (X.R.D.) analysis of manganese ore.

Πιν. 7: Ημιποσοτική (X.R.D.) ανάλυση μαγγανιούχου μεταλλοφορίας.

Περιοχή	η	Τονιορο- κίτης	Πυρολου- σίτης	Νσουτί- της	Κρυπτο- μέλανας	Ροδο- χρω- σίτης	Χαλα- ζίας	Ασβε- στίτης	Δολο- μίτης
Βαρβάρα γεωτρ.	30	33,49	3,64	12,64	4,95	0,02	39,52	2,76	0,52
Βαρβάρα επιφαν.	13	22,38	6,8	6,19	2,11	0,01	63,66	0	0
Πιάβιτσα	23	21,97	0,77	15,50	4,50	16,39	36,05	0,33	0,16
Μαντέμ Λάκκος	9	5,22	12,43	14,68	27,12	2,47	50,39	0,14	0
Μπασδέκ Λάκκος	2	7,7	0,5	46,8	8,3	0	36,5	0	0
Ολυμπιάδα	30	1,77	0	73,43	2,77	0	22,37	0	0

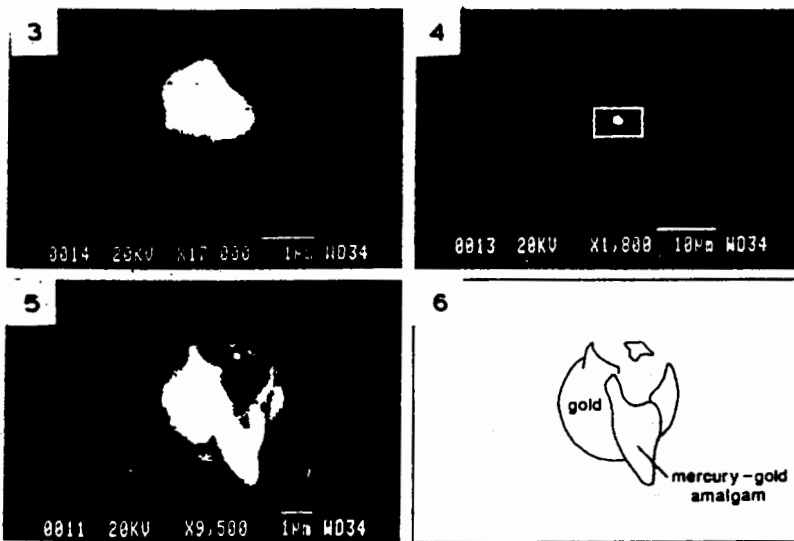


Photo 3,4: SEM photomicrograph showing the mineralogical setting of the gold.

Photo 5: SEM photomicrograph of a composit grain. The circular grain comprises gold with minor silver: the cross - cutting grain is a mercury - gold amalgam.

Photo 6: Sketch showing the distribution of phases in Phot. -5. Alter Potts et al 1992.

Φωτ. 3,4: Μικροφωτογραφίες σαρωτικού ηλεκτρονικού μικροσκοπίου (Σ.Η.Μ.) που δείχνουν την ορυκτολογική τοποθετηση του χρυσού.

Φωτ. 5: Μικροφωτογραφία Σ.Η.Μ. από σύνθετο κόκκο. Ο αποστρογγυλωμένος κόκκος αποτελείται από χρυσό και άργυρο. Ο διατέμνων κόκκος είναι αμάλγαμα σύδραγύρου - χρυσού.

Φωτ. 6: Σκαρίφημα που δείχνει την κατανομή των φάσεων της Φωτ. 5. Από Alter Potts et al 1992.

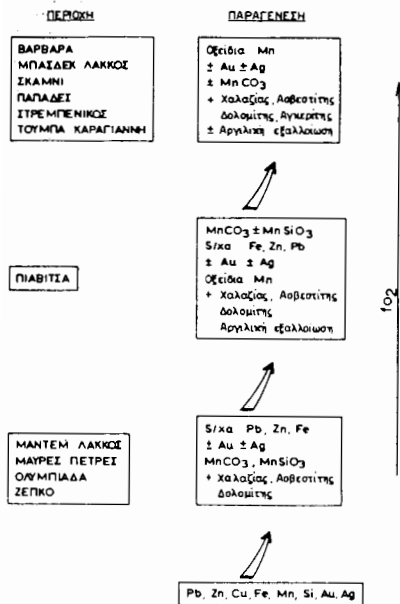


Fig. 5: Evulution of the paragenetic assemblages of the manganese ores and mineralizations in N.E. Chalkidiki.

Σχ. 5: Η εξέλιξη των παραγενετικών φάσεων των Μαγγανιούχων κοιτασμάτων και μεταλλοφοριών της Β.Α. Χαλκιδικής.

μεταλλοφορίας είναι η θερμοκρασία σχηματισμού, οι λόγοι Mn/Fe, Mn/Si, Mn²⁺/Mn⁴⁺, η συγκέντρωση του O₂, CO₂ και του S στα υδροθερμικά διαλύματα. Supriya Roy (1981), Varentsov et al (1980).

Δευτερογενώς λόγω υπεργενετικής μετακίνησης και συγκέντρωσης, το μαγγάνιο υπό μορφή οξειδίων και υπεροξειδίων αποτίθεται σε περιοχές, λόγω τεκτονικης διάρρηξης και υψηλής διαπερατότητας των ξενιστών (Βαρβάρα, Μπασδέκ Λάκκος, Σκαμνί, κ.λ.π.), αλλά και λόγω της *in situ* οξείδωσης της πρωτογενούς μαγγανιούχου μεταλλοφορίας Πιάβιτσα, Ολυμπιάδα).

Τα πολύτιμα μεταλλα λόγω των ποιοτικών τους χαρακτηριστικών είναι αξιοποιήση στην βιομηχανία ξηρών ηλεκτρικών στοιχείων. Το γεγονός ότι ο περιεχόμενος χρυσός είναι ελεύθερος και συνδέεται με το σύνδρομο πυριτικό υλικό του μεταλλεύματος, δίνει την δυνατότητα αξιοποίησής του από τα απορρίμματα μετά την απόληψη του MnO₂. Εδώ από το ΙΓΜΕ διεξάγονται εργαστηριακού επιπέδου έρευνες προς την κατεύθυνση αυτή. Από προκαταρκτικές δοκιμές με υδρομεταλλουργική επεξεργασία (κυάνωση) προκύπτει ότι η απόληψη του περιεχόμενου χρυσού ξεπερνά το 90%.

ανάλυση) με λίγο άργυρο. Εντοπίστηκαν περίπου 70 τέτοιοι κόκκοι. Είναι αναμενόμενο ότι αυτός ο τρόπος σύνδεσης του χρυσού με το μετάλλευμα μπορεί να βοηθήσει στην ανάκτηση του, με φυσικές μεθόδους επεξεργασίας (επίπλευση).

3. Η εφαρμογή σε μικρό αριθμό δειγμάτων της μεθόδου β-αυτοραδιογραφίας υπήρξε πολύ επιτυχής. Κατ' αρχήν επειδή εντοπίζει διάσπαρτο μικρομετρικό χρυσό, η διάκριση του οποίου είναι πέραν των δυνατοτήτων του οπτικού η ηλεκτρονικού μικροσκοπίου. Επίσης καθώς διαχωρίζει τα πολύτιμα μεταλλα από άλλες φάσεις (με μεγάλη ανακλαστικότητα) παρούσες σε αυτό το μετάλλευμα π.χ. γαληνίτη.

4. Η μελέτη προβλέπεται να επεκταθεί σε μεγαλύτερο αριθμό δειγμάτων ώστε να οριστικοποιηθούν τα αποτελέσματα από στατιστικώς αποδεκτά δείγματα και να υποβοηθήσουν την μελέτη αποδέσμευσης.

VI. ΜΕΤΑΛΛΟΓΕΝΕΣΗ - ΣΥΖΗΤΗΣΗ

Η εξέλιξη των παραγενετικών φάσεων των Μαγγανιούχων κοιτασμάτων δίδεται σχηματικά στο Σχ. 5.

Πρωτογενώς το Μαγγάνιο εναποτίθεται ως σύνδρομο των θειούχων κοιτασμάτων καθώς και στους ανθρακικούς ορίζοντες (εξ' αντικαταστάσεως) από πλούσια σε Mn, Pb, Zn, Cu, Fe, Si, Au, Ag, υδροθερμικά διαλύματα. (Μαντέμ Λάκκος, Μαύρες Πέτρες, Ολυμπιάδα, Ζέπκο).

Σημαντικοί παράγοντες για την εναπόθέση και για την ζωνώδη παραγένεση της μαγγανιούχου μεταλλοφορίας είναι η συγκέντρωση του O₂, CO₂ και του S στα υδροθερμικά διαλύματα. Supriya Roy (1981), Varentsov et al (1980).

Τα πολύτιμα μεταλλα λόγω των ποιοτικών τους χαρακτηριστικών είναι αξιοποιήση στην βιομηχανία ξηρών ηλεκτρικών στοιχείων. Το γεγονός ότι ο περιεχόμενος χρυσός είναι ελεύθερος και συνδέεται με το σύνδρομο πυριτικό υλικό του μεταλλεύματος, δίνει την δυνατότητα αξιοποίησής του από τα απορρίμματα μετά την απόληψη του MnO₂. Εδώ από το ΙΓΜΕ διεξάγονται εργαστηριακού επιπέδου έρευνες προς την κατεύθυνση αυτή. Από προκαταρκτικές δοκιμές με υδρομεταλλουργική επεξεργασία (κυάνωση) προκύπτει ότι η απόληψη του περιεχόμενου χρυσού ξεπερνά το 90%.

Τα μαγγανιούχα κοιτάσματα της Χαλκιδικής λόγω των ποιοτικών τους χαρακτηριστικών είναι αξιοποιήση στην βιομηχανία ξηρών ηλεκτρικών στοιχείων. Το γεγονός ότι ο περιεχόμενος χρυσός είναι ελεύθερος και συνδέεται με το σύνδρομο πυριτικό υλικό του μεταλλεύματος, δίνει την δυνατότητα αξιοποίησής του από τα απορρίμματα μετά την απόληψη του MnO₂. Εδώ από το ΙΓΜΕ διεξάγονται εργαστηριακού επιπέδου έρευνες προς την κατεύθυνση αυτή. Από προκαταρκτικές δοκιμές με υδρομεταλλουργική επεξεργασία (κυάνωση) προκύπτει ότι η απόληψη του περιεχόμενου χρυσού ξεπερνά το 90%.

ΒΙΒΛΙΟΓΡΑΦΙΑ - REFERENCES

- ARVANITIDIS, N.D., THEODOROUDIS, A.C., HELLINGWERF, R., KOUGOULIS, C. and DIMOU, E. (1992). Preliminary ore mineralogy and gold Geochemistry of the Zepcos-Papades-Stratoniki mineralized fault zone. Forth progress report in IGME-EC project : MA2M-0015.
- ΓΑΛΑΝΟΠΟΥΛΟΣ, Β., ΘΕΟΔΩΡΟΥΔΗΣ, Α., (1989). Οι δυνατότητες εντοπισμού πρωτογενούς χρυσού στα μαγγανιομεταλλεύματα της ΒΑ Χαλκιδικής (αδημ. έκθ. ΙΓΜΕ).
- GALANOPoulos, V.P., KALOGEROPOULOS, S.I., THEODOROUDIS, A.C. (1986). The Manganese Ores of the Eastern Chalkidiki Country Macedonia, Northern Greece, 7th IAGOD symposium and Nordkalott Project Meeting LYLEA SWEDEN.
- ΔΗΜΟΥ, Ε., ΔΙΑΚΑΚΗΣ, Μ., ΟΙΚΟΝΟΜΟΥ, Γ. (1986). Η θειούχος μεταλλοφορία της περιοχής Σταγείρων (Θέση Πιάβιτσα) του Ν. Χαλκιδικής και η παρουσία μέσα σ' αυτή των σπανίων ορυκτών αλαμπαντίτη και μαγγανιούχου σφαλερίτη. ΙΓΜΕ Γεωλογικές και γεωφυσικές μελέτες σελ. 73-87.
- ΔΙΑΚΑΚΗΣ, Ε. (1975). Υπολογισμοί αποθεμάτων περιοχών Φακής - Παλαιόχωρας (αδημ. έκθ. ΓΕΜΕΕ Α.Ε.).
- ΘΕΟΔΩΡΟΥΔΗΣ, Α., ΓΑΛΑΝΟΠΟΥΛΟΣ, Β. (1991). Η μαγγανιούχος μεταλλοφορία του Δημόσιου Μεταλλείου Βαρβάρας (τ.ΟΠ-13) του Ν. Χαλκιδικής (Αδημ. έκθ. ΙΓΜΕ).
- ΘΕΟΔΩΡΟΥΔΗΣ, Α., ΓΑΛΑΝΟΠΟΥΛΟΣ, Β. (1993). Κοιτασματολογική μελέτη της μεταλλοφορίας Au, Ag στα Μαγγανιούχα κοιτάσματα της ΒΑ Χαλκιδικής (Αδημ. έκθ. ΙΓΜΕ)
- HELLINGWERF, R., ARVANITIDIS, N., KOUGOULIS, C., THEODOROUDIS, A., and VERANIS, N. (1993). Mineralogy and geochemistry of marbles in the Olympias - Stratoniki - Varvara - Rendina area, Chalkidiki, N. Greece. Final report in IGME-EEC project MA2M- 0015.
- HELLINGWERF, R., ARVANITIDIS, N. et al. (1993). Ore geology, exploration tools and new targets for non-outcropping ore deposits in Chalkidiki N. Greece. Final report in : IGME-EEC project : MA2M-0015 .
- KALOGEROPOYLOS, S., KILKIAS, S., BITZIOS, D., NIKOLAOU, BOTH, R. (1989). Genesis of the Olympias Carbonate - Hosted Pb-Zn (Au, Ag) Sulfide ore deposit Chalkidiki Peninsula Northern Greece. Economic Geology vol. 84 p.p.: 1210-1234.
- KOCKEL, F., MOLLATH and WALTER H.W. (1977). Erauterungen zur Geologischen Karte der Chalkidiki und angrenzender Gebiete 1:100.000 (Nord-Griechenland) Bundesanstall fur Geowissenschaften und Rohstoff Hannover 119 p.
- MOYNTRAKΗΣ, Δ. (1985). Γεωλογία της Ελλάδος. University Studio press 207 σελ. Θεσσαλονικη.
- NEBEL, M., HUTCHINSON, R.W., ZARTMAN, R.E. (1991). Metamorphism and polygenesis of the Madem Lakkos polymetallic sulphide deposit, Chalkidiki Greece : Econ. Geology 86, 81-105.
- NIKOLAOU, M. (1960). L' Intrusion granitique dans la region de Stratoniki - Olympiade et sa relation avec la metalloyenese. Ann. Geol. des pays Helleniques v. 11 p. 214-265.
- POTTS, P.J., BOWLES, J.F.W. and PRICHARD, H.M. (1992). Beta autoradiography studies. A sub-project of; Advanced interdisciplinary exploration research for base, precious and associated metals in polymetamorphic terrains, N.Greece. Project leader : V.P. Calanopoulos, Contract No MAIM-0049-GR.
- RENA, A. (1977). Manganese Deposits Greece (Αδημ. ακθ. Bethleen Steel).
- SUPRIYA, ROY. (1981). Maganese Deposits Academic Press. LONDON
- VARENTSOV, I.M. and GRASSELLY ,Gy. (1980). Geology and Geochemistry of Manganese. Schweizerbart - Stuttgart.